

# POST TERRAE MOTUM FACTUM EST



**Ctirad Matyska**  
**katedra geofyziky MFF UK**

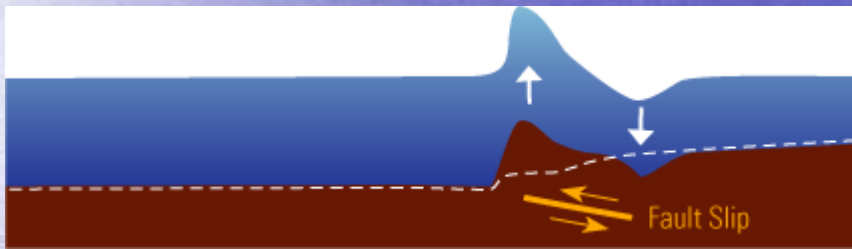
# 津波

**přístav**      **vlna**

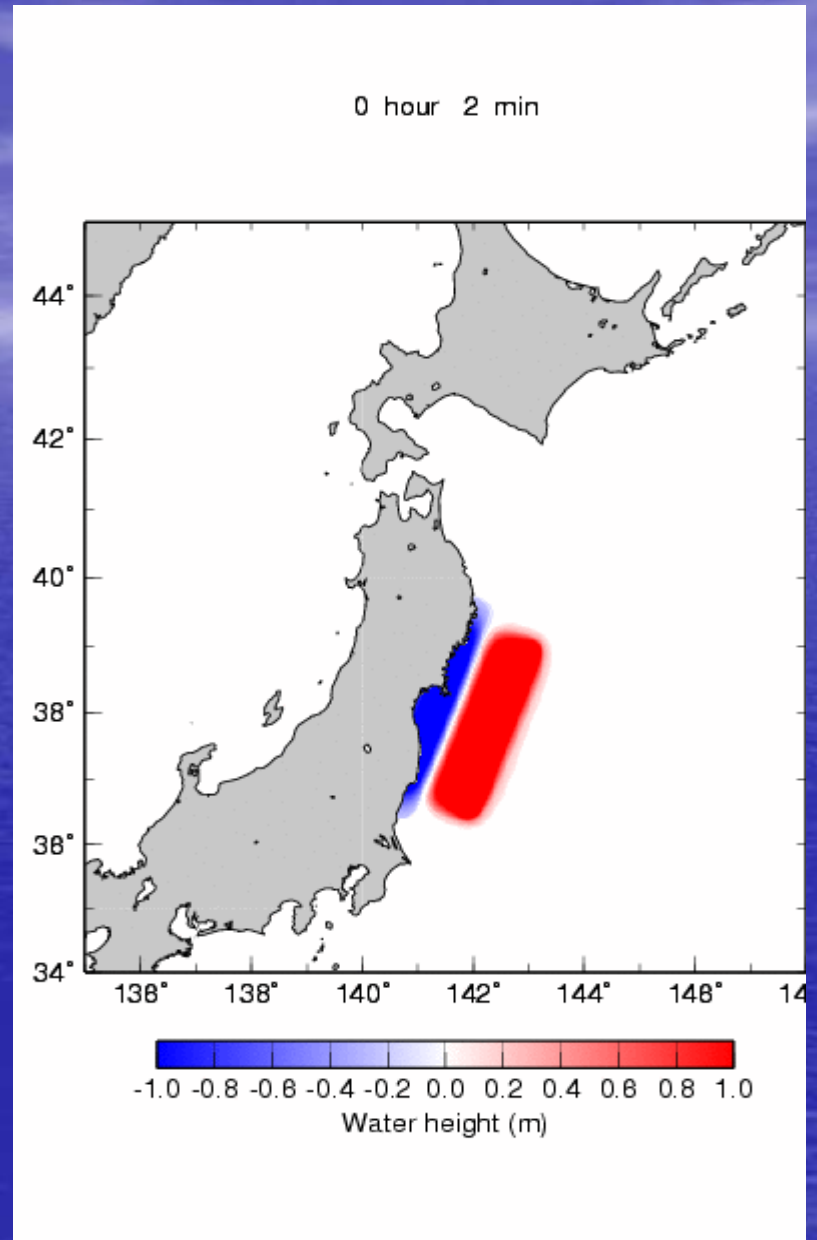


Kacuška HOKUSAI. Velká vlna v Kanagawě, 1831; barevný dřevorez, NG v Praze

# 津波



USGS



Fujii a Satake





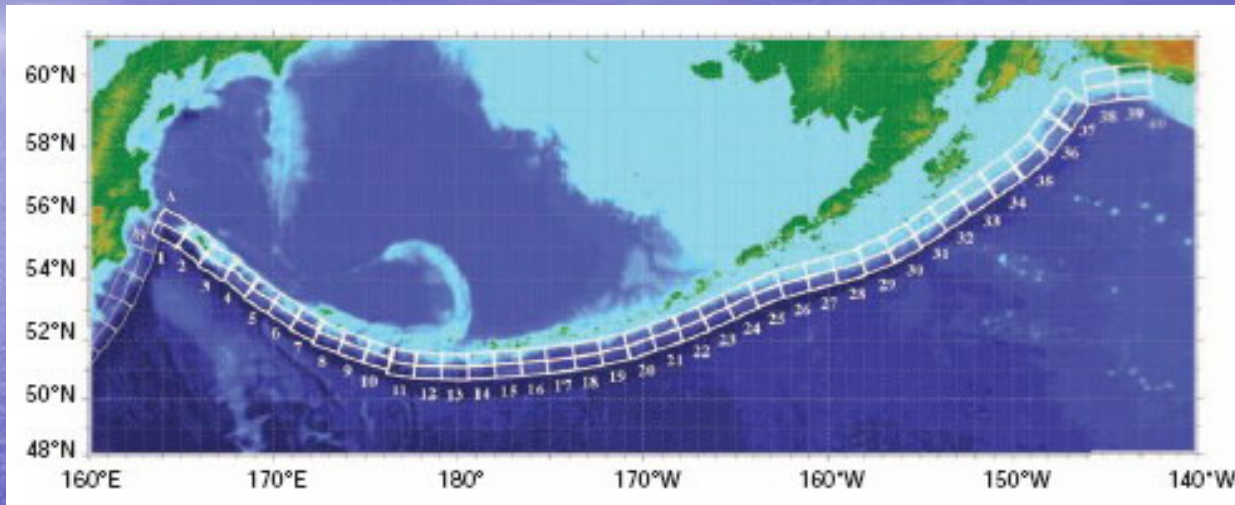
# 津波

## Předdefinované báze zdroje

The goal is to define tsunami source functions such that a finite combination of the pre-computed tsunami model runs could closely reproduce the tsunami time series of the actual event.

This is feasible because of the linearity of the tsunami generation/ propagation dynamics. Each pre-defined source in the Propagation Database is referred to as a *“unit source.”* Each unit source is equivalent to a deformation due to an earthquake with a fault length of 100 km, fault width of 50 km, and a slip value of 1 m, equivalent to a moment magnitude of 7.5. (NOAA)

# 津波



Two rows of unit sources are set up, one for the shallower region and one for the deeper region. Additional rows may be possible depending on the characteristics of the region. These unit sources are located along the known fault zones for the entire Pacific Basin, Caribbean for the Atlantic region and Indian Ocean. Figure shows how the unit sources have been set up for the Aleutian Islands. (NOAA)

# Zaplavení vybrané lokality

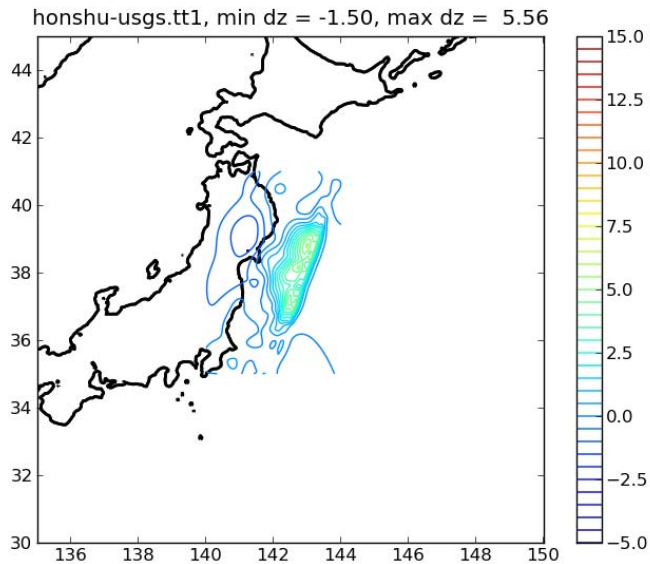
To reproduce the correct wave dynamics during the inundation computations high resolution bathymetric and topographic grids are used in this type of study. The high quality bathymetric and topographic data sets needed for development of inundation maps require maintenance and upgrades as better data becomes available and coastal changes occur. Inundation studies can be conducted taking a probabilistic approach in which multiple tsunami scenarios are considered, and an assessment of the vulnerability of the coast to tsunami hazard is evaluated, or they may focus on the effect of a particular 'worst case scenario' and assess the impact of such a particularly high impact event on the areas under investigation.

The results of a tsunami inundation study should include information about the maximum wave height and maximum current speed as a function of location, maximum inundation line, as well as time series of wave height at different locations indicating wave arrival time. (NOAA)

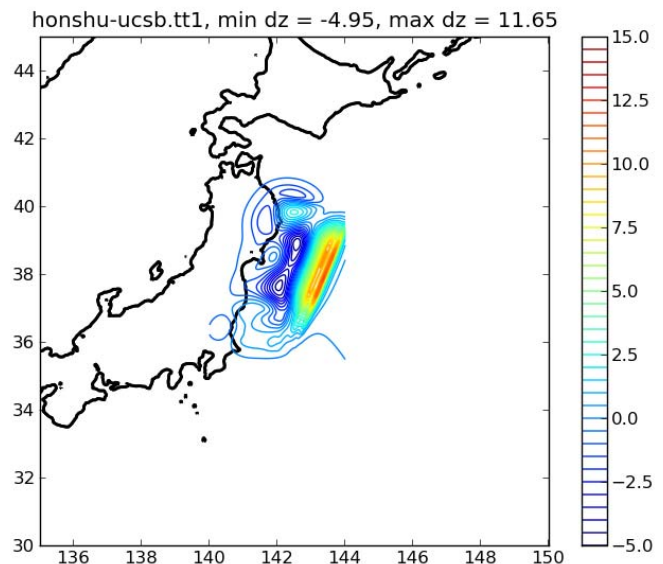


# 津波

## Přímé modelování v reálném čase začíná u modelů pohybu dna získaných ze seismologie



USGS



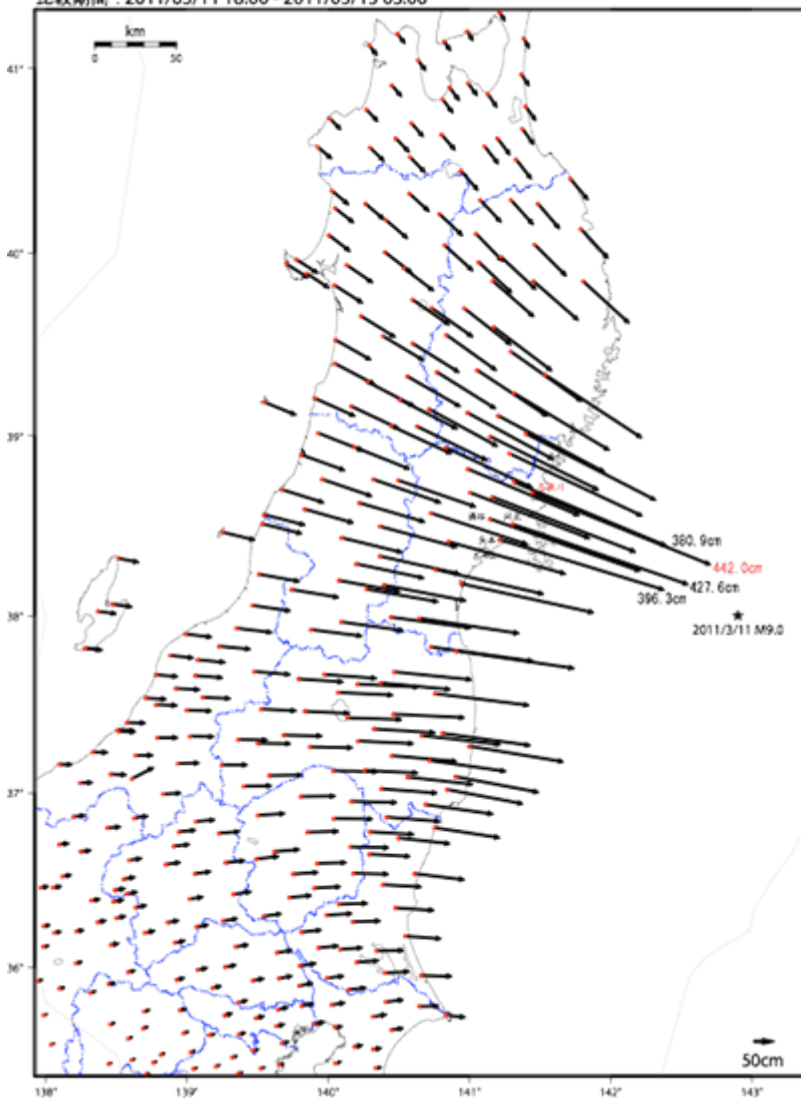
UCSB

# Tohoku, Japan Earthquake: GPS Displacements

## Geospatial Information Authority of Japan

変動ベクトル図（水平） 暫定

基準期間：2011/03/01 21:00 - 2011/03/09 21:00  
比較期間：2011/03/11 18:00 - 2011/03/13 03:00



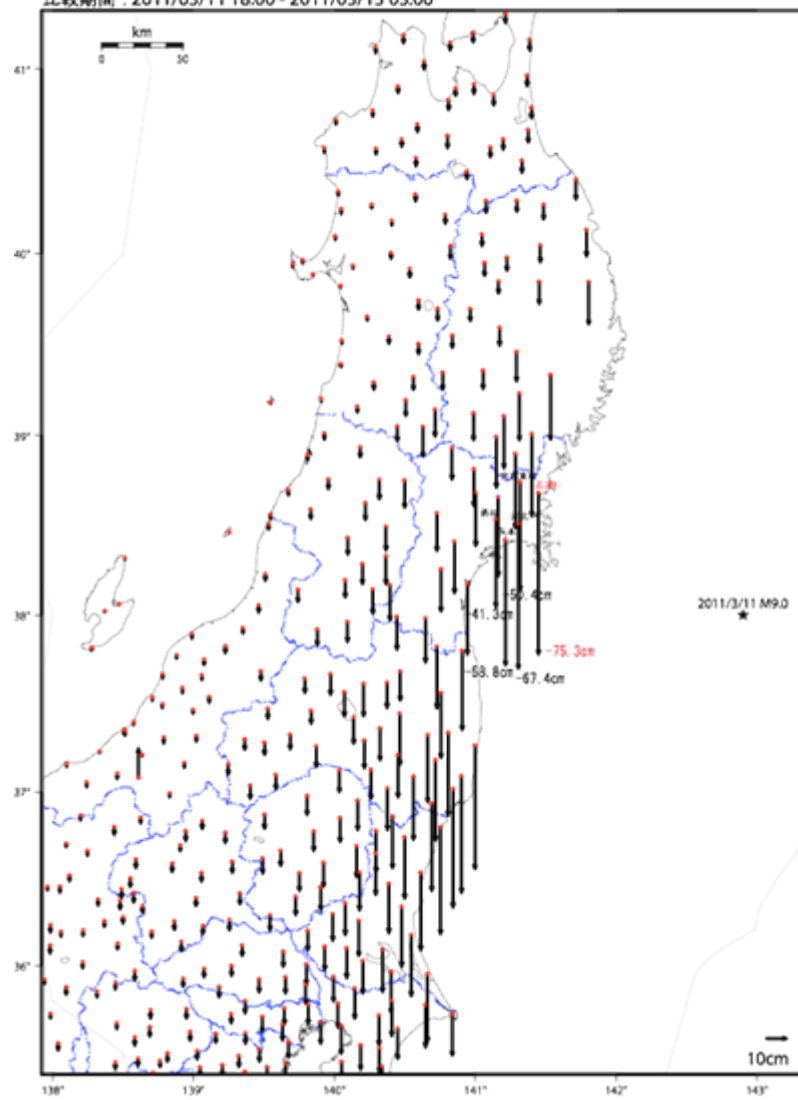
〔基準：R3速報値 比較：G3速報値〕

☆震源地：三隅（950368）

国土地理院

変動ベクトル図（上下） 暫定

基準期間：2011/03/01 21:00 - 2011/03/09 21:00  
比較期間：2011/03/11 18:00 - 2011/03/13 03:00



〔基準：R3速報値 比較：G3速報値〕

☆震源地：三隅（950368）

国土地理院

# 津波

## Nelineární 3-D úloha s měnící se geometrií

Navierova-Stokesova rovnice:

$$\rho \left( \frac{\partial \mathbf{v}}{\partial t} + (\mathbf{v} \cdot \nabla) \mathbf{v} \right) = -\nabla p + \rho \mathbf{g} - 2\rho \boldsymbol{\Omega} \times \mathbf{v} + \eta \nabla^2 \mathbf{v}$$

Rovnice kontinuity:

$$\nabla \cdot \mathbf{v} = 0$$

Okrajové podmínky:

pohyb dna a volná hladina na povrchu

$\rho$  je hustota,  $\mathbf{v}$  je rychlost,  $p$  je tlak,  $\boldsymbol{\Omega}$  je vektor úhlové rotace Země,  $\mathbf{g}$  je gravitační zrychlení a  $\eta$  je viskozita

# 津波

## Aproximace pro “mělkou” vodu

Nelineární rovnice pro neviskózní vodu:

$$\frac{\partial \mathbf{v}_H}{\partial t} + (\mathbf{v}_H \cdot \nabla) \mathbf{v}_H = -g \nabla_H h - 2 \boldsymbol{\Omega} \times \mathbf{v}_H$$

$$\frac{\partial h}{\partial t} + \nabla_H \cdot ((h - h_B) \mathbf{v}_H) = 0$$

Linearizované rovnice:

$$\frac{\partial \mathbf{v}_H}{\partial t} = -g \nabla_H h - 2 \boldsymbol{\Omega} \times \mathbf{v}_H$$

$$\frac{\partial h}{\partial t} = -\nabla_H \cdot ((h_0 - h_B) \mathbf{v}_H)$$

$h$  je výška povrchu vody,  $h_0$  je referenční výška povrchu,  $h_B$  je výška dna,  $\mathbf{v}_H$  je horizontální rychlost a  $\nabla_H$  je horizontální část operátoru  $\nabla$

# 津波

## Aproximace pro “mělkou” vodu

Odhad rychlosti šíření vlny:

Položíme-li  $\Omega = 0$  a považujeme-li  $h_0 - h_B$  za konstantu, dostáváme

$$\frac{\partial \mathbf{v}_H}{\partial t} = -g \nabla_H h ,$$

$$\frac{\partial h}{\partial t} = -(h_0 - h_B) \nabla_H \cdot \mathbf{v}_H ,$$

tedy

$$\frac{1}{g(h_0 - h_B)} \frac{\partial^2 \mathbf{v}_H}{\partial t^2} = \nabla_H^2 \mathbf{v}_H ,$$

$$\frac{1}{g(h_0 - h_B)} \frac{\partial^2 h}{\partial t^2} = \nabla_H^2 h ,$$

takže rychlost šíření je

$$c = \sqrt{g(h_0 - h_B)} .$$

# 津波

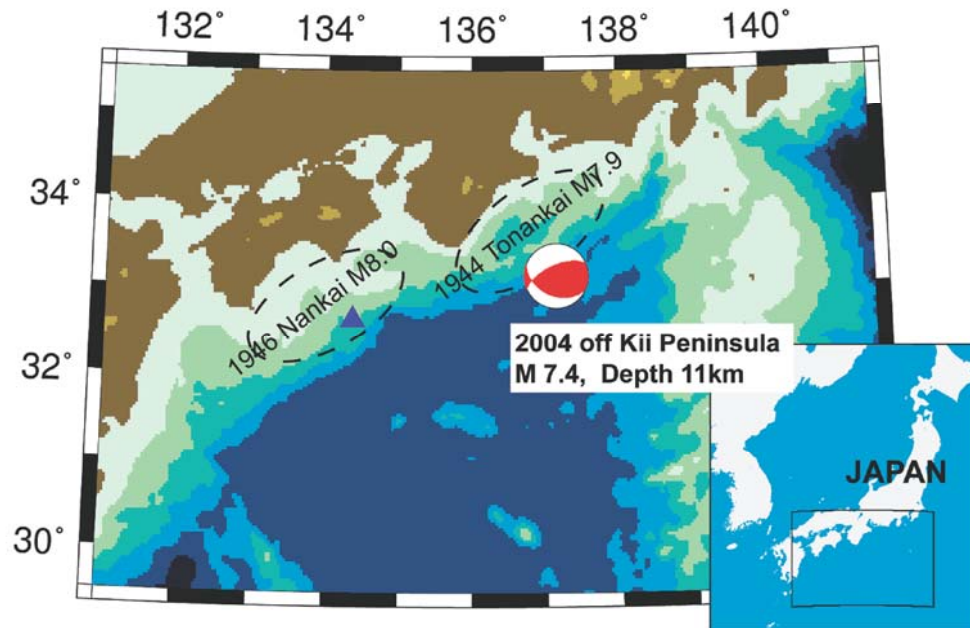


Fig. 1 The area and bathymetry for the tsunami simulation of the 2004 M 7.4 off Kii Peninsula earthquake (red). Source areas of the 1944 Tonankai (M 7.9) and the 1946 Nankai (M 8.0) earthquakes are also shown by dashed curves. The point for the tsunami records in Fig. 3 is shown by a triangle.

# 津波

Saito a Furumura, 2008

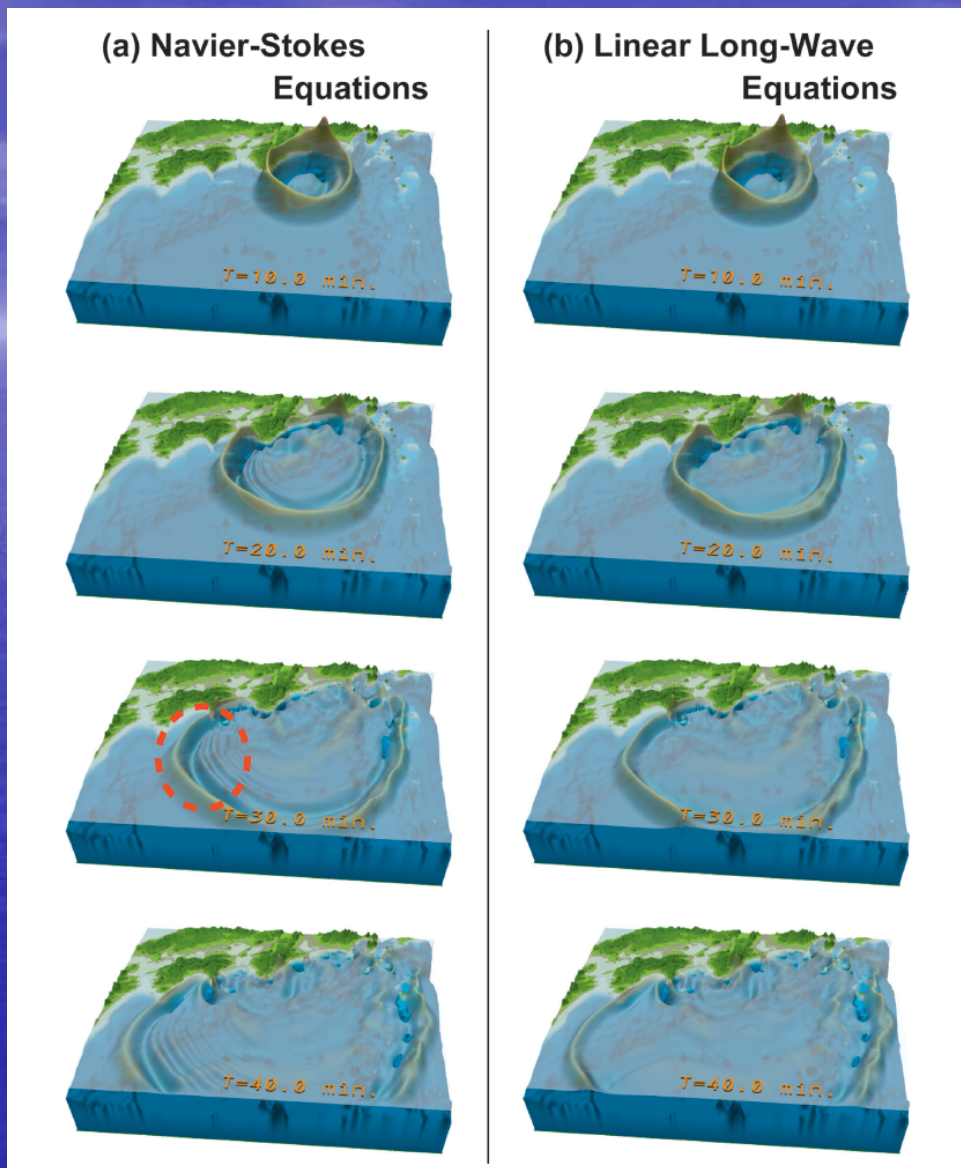


Fig. 2 Snapshots of the tsunami propagation for the 2004 off Kii Peninsula earthquake, at elapsed times of 10, 20, 30 and 40 min from the earthquake origin time calculated by 3-D Navier-Stokes equations and 2-D linear long-wave equations. Tsunami dispersion is recognized in the results of the 3-D Navier-Stokes simulations [dashed circle].

# 津波

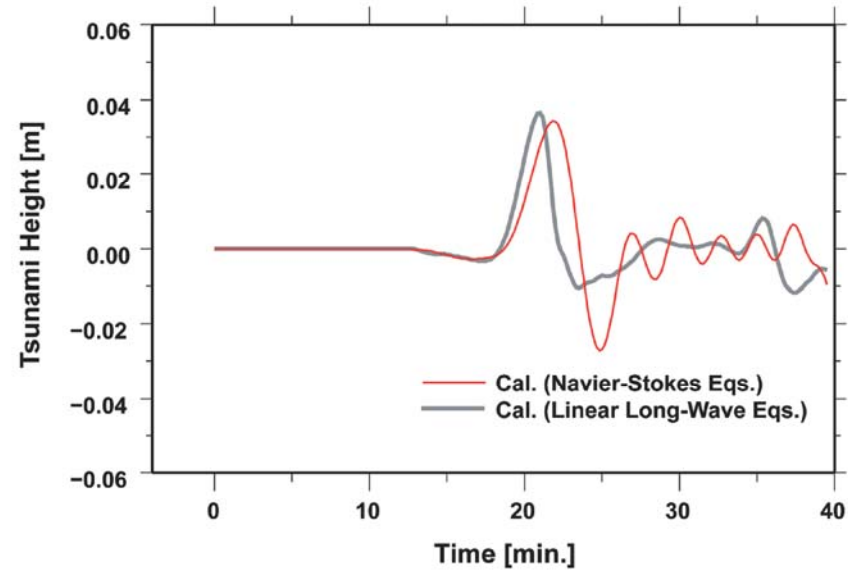


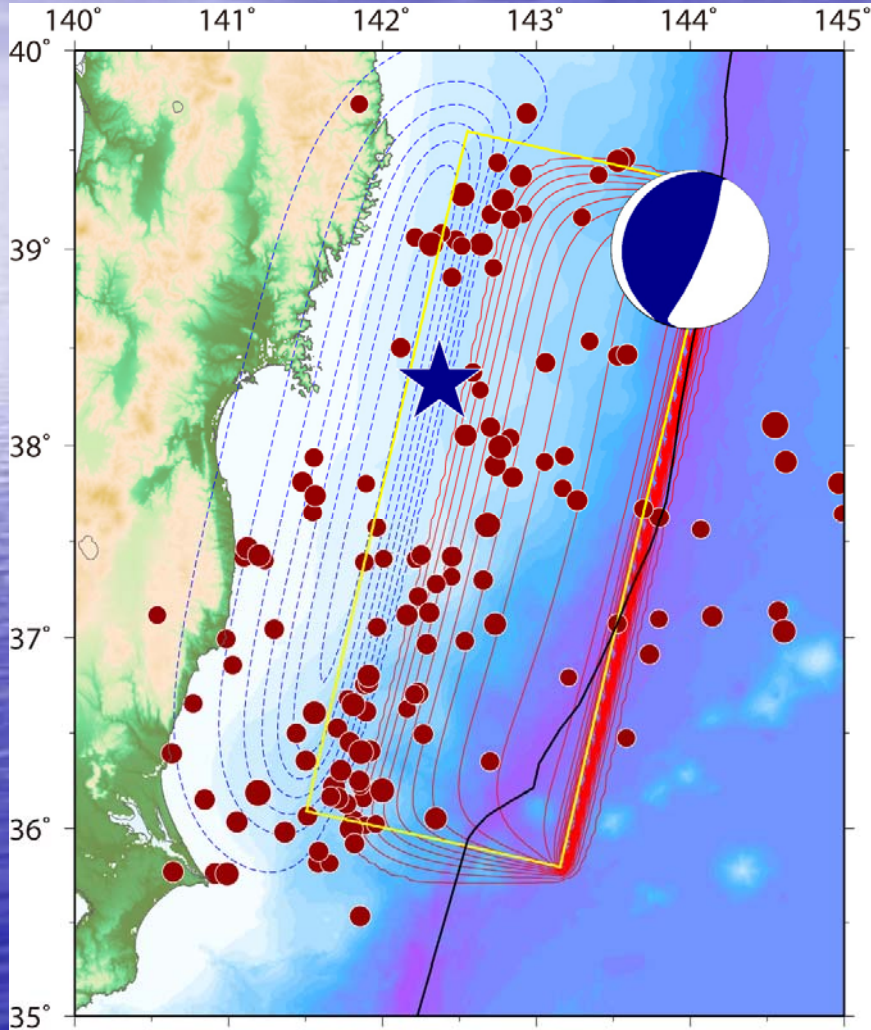
Fig. 3 The tsunami record calculated from the simulation using 3-D NS equations (red) and 2-D linear long-wave equations (black) off Muroto (a triangle in Fig. 1). The 3-D NS equations can simulate dispersive tsunami.



# 津波

# šíření a testy přesnosti

Yushiro Fujii (IISEE, BRI) a Kenji Satake (ERI, Univ. of Tokyo)



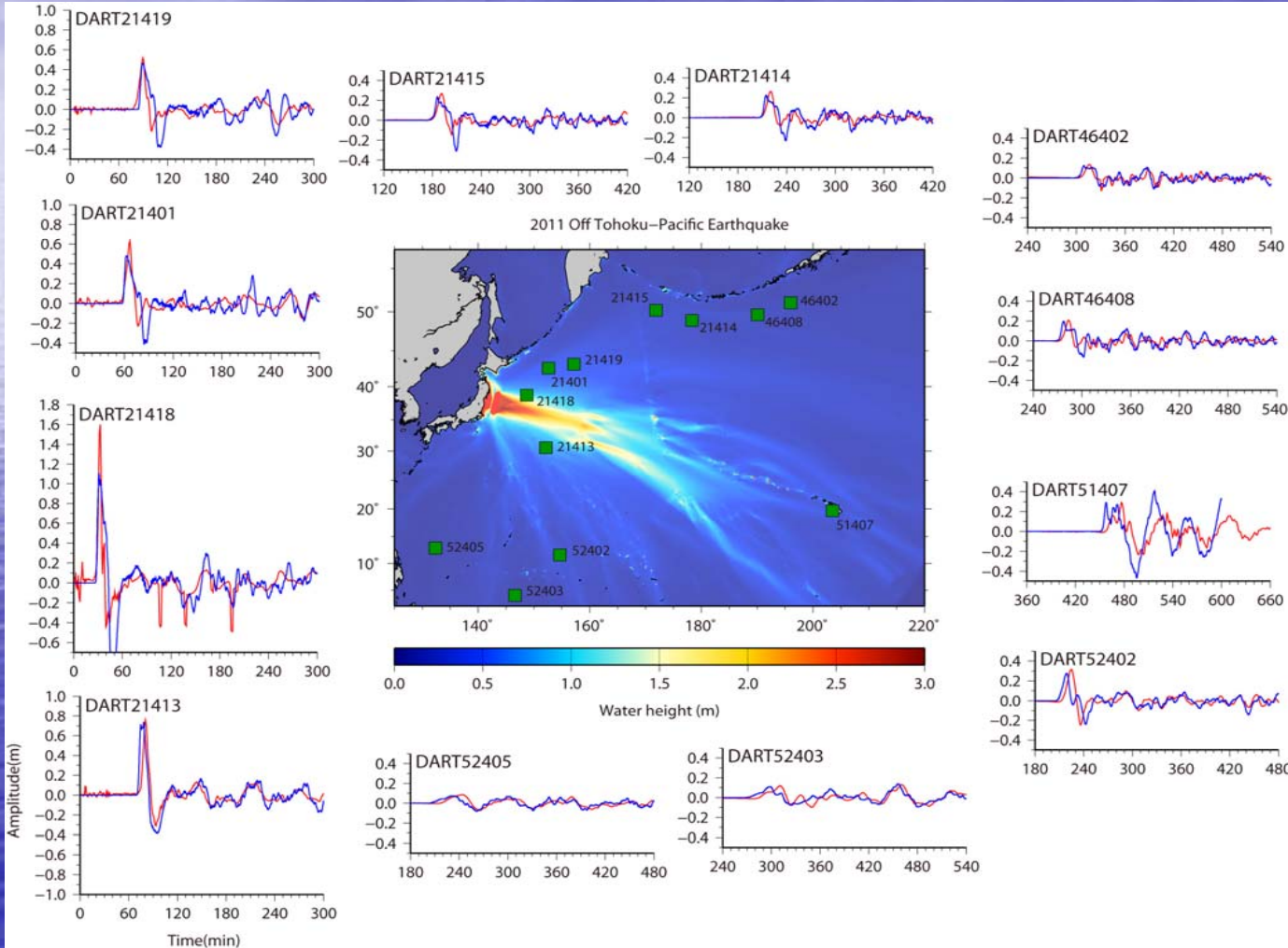
## Tsunami Source Model

The red contours indicate uplift with the contour interval of 0.5 m, while the blue contours indicate subsidence with the contour interval of 0.5 m. Aftershocks (determined by USGS) during about one day after the mainshock are also shown by red circles.

# 津波

# šíření a testy přesnosti

Yushiro Fujii (IISEE, BRI) a Kenji Satake (ERI, Univ. of Tokyo)



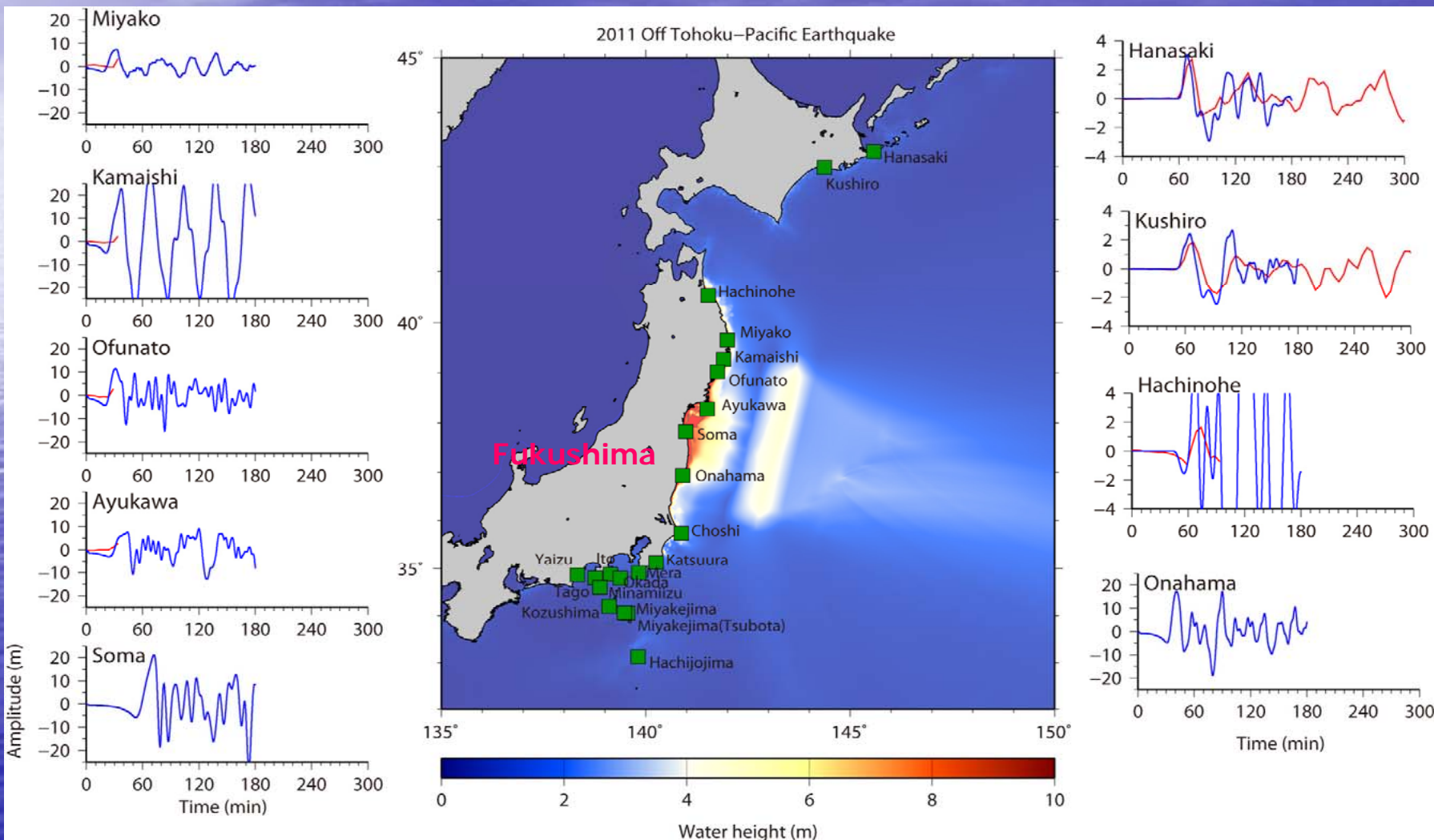
Maximum Height of Simulated Tsunami

Solid lines in red and blue indicate the observed tsunami waveform and synthetic ones, respectively.

# 津波

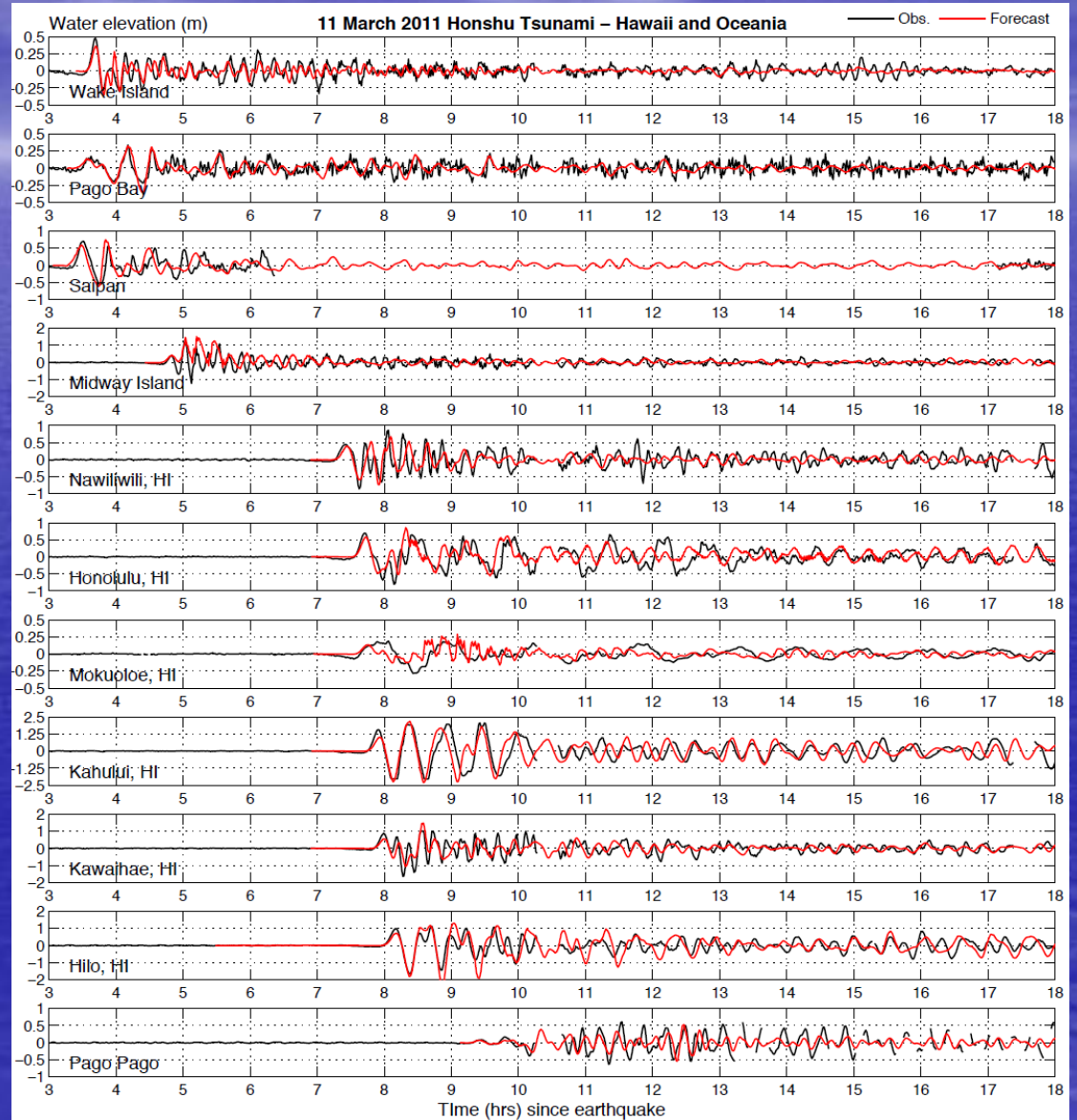
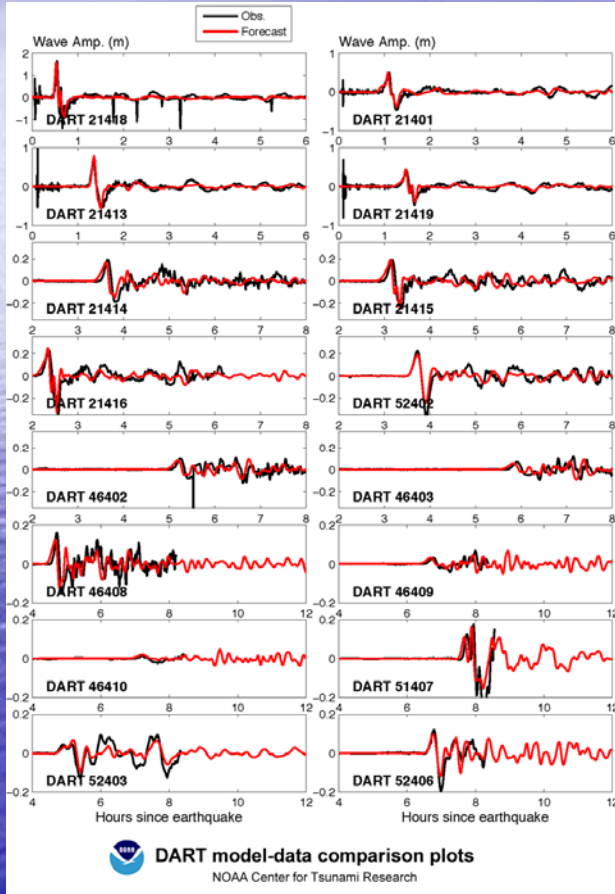
# šíření a testy přesnosti

Yushiro Fujii (IISEE, BRI) a Kenji Satake (ERI, Univ. of Tokyo)



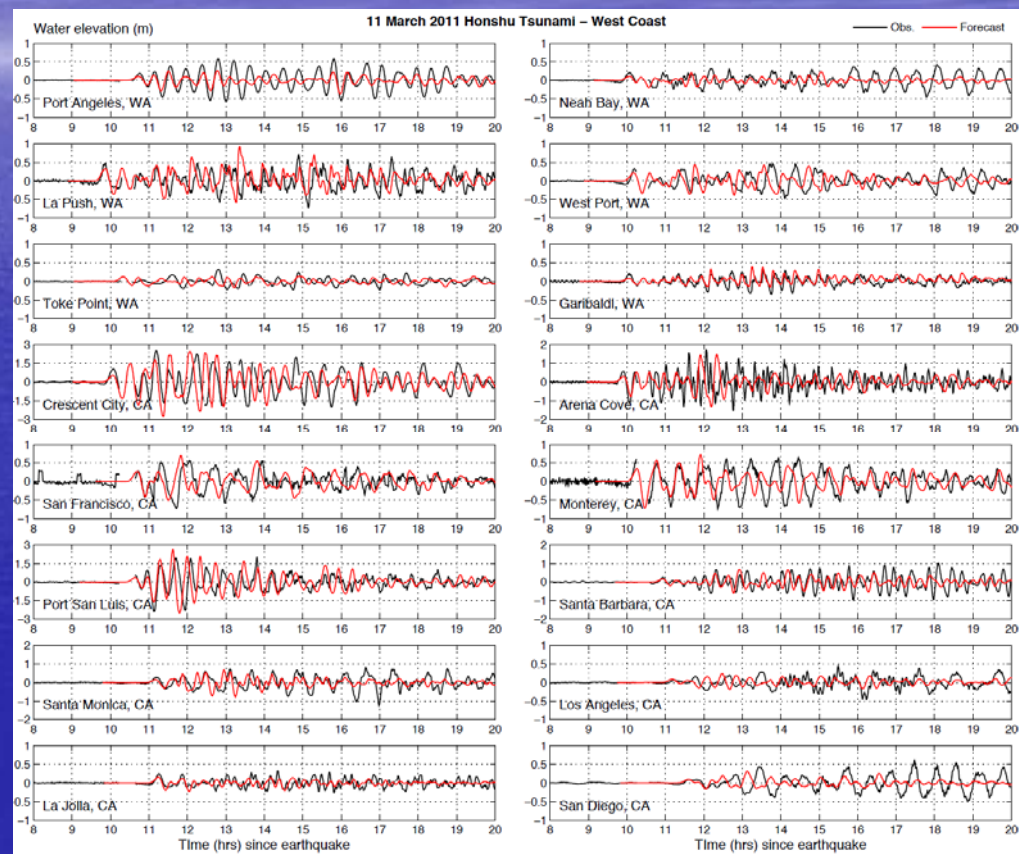
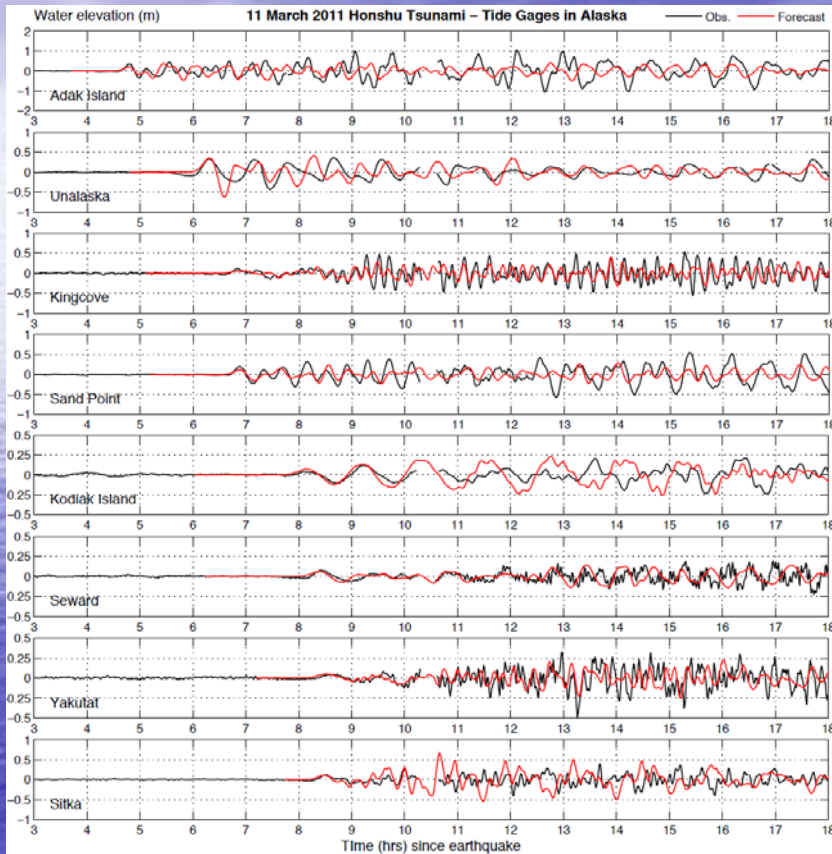
# 津波

# šíření a testy přesnosti



# 津波

# šíření a testy přesnosti



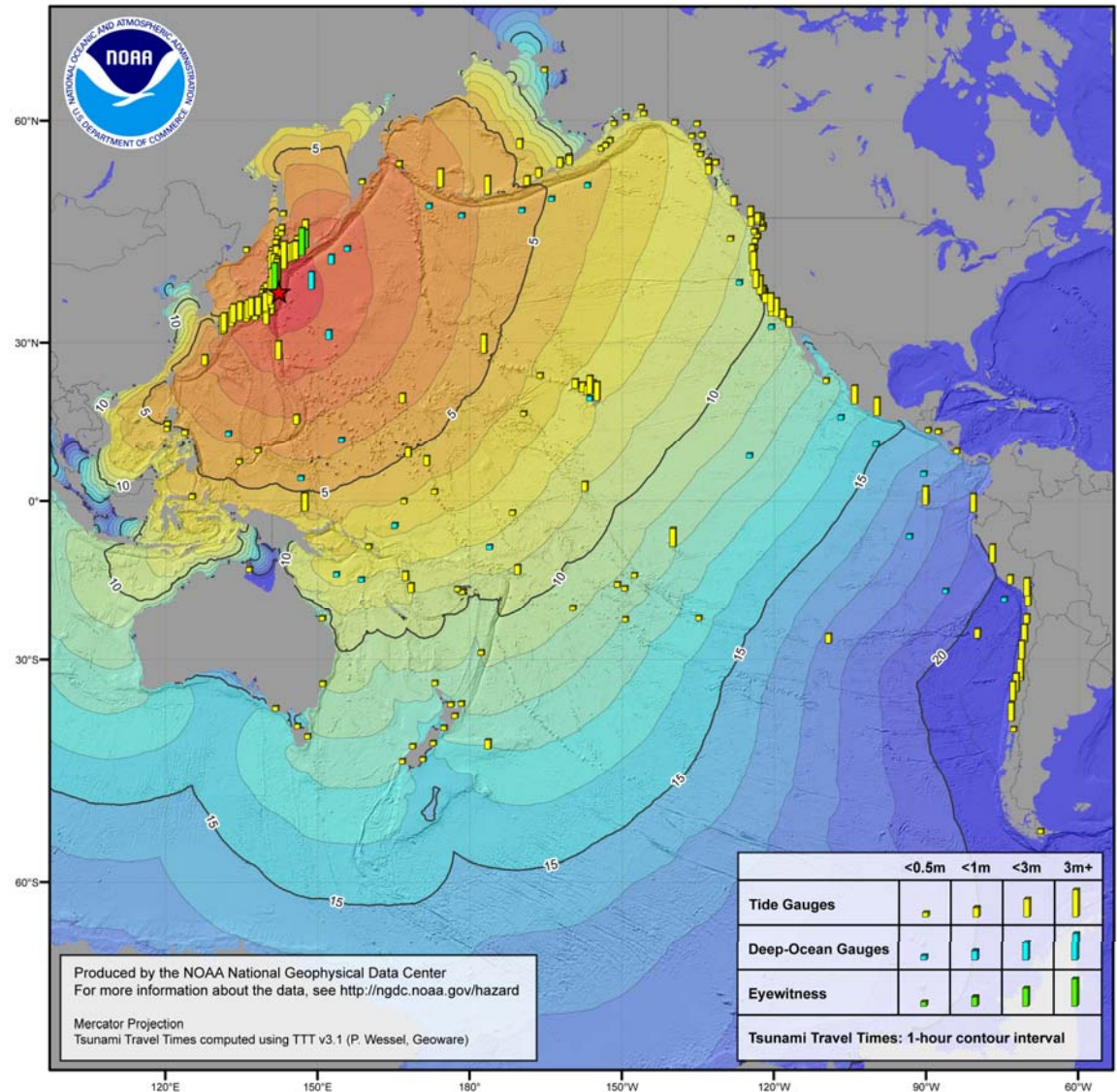
# 津波

# NOAA: souhrn dat a výpočtů

## MARCH 11, 2011 JAPAN EARTHQUAKE AND TSUNAMI

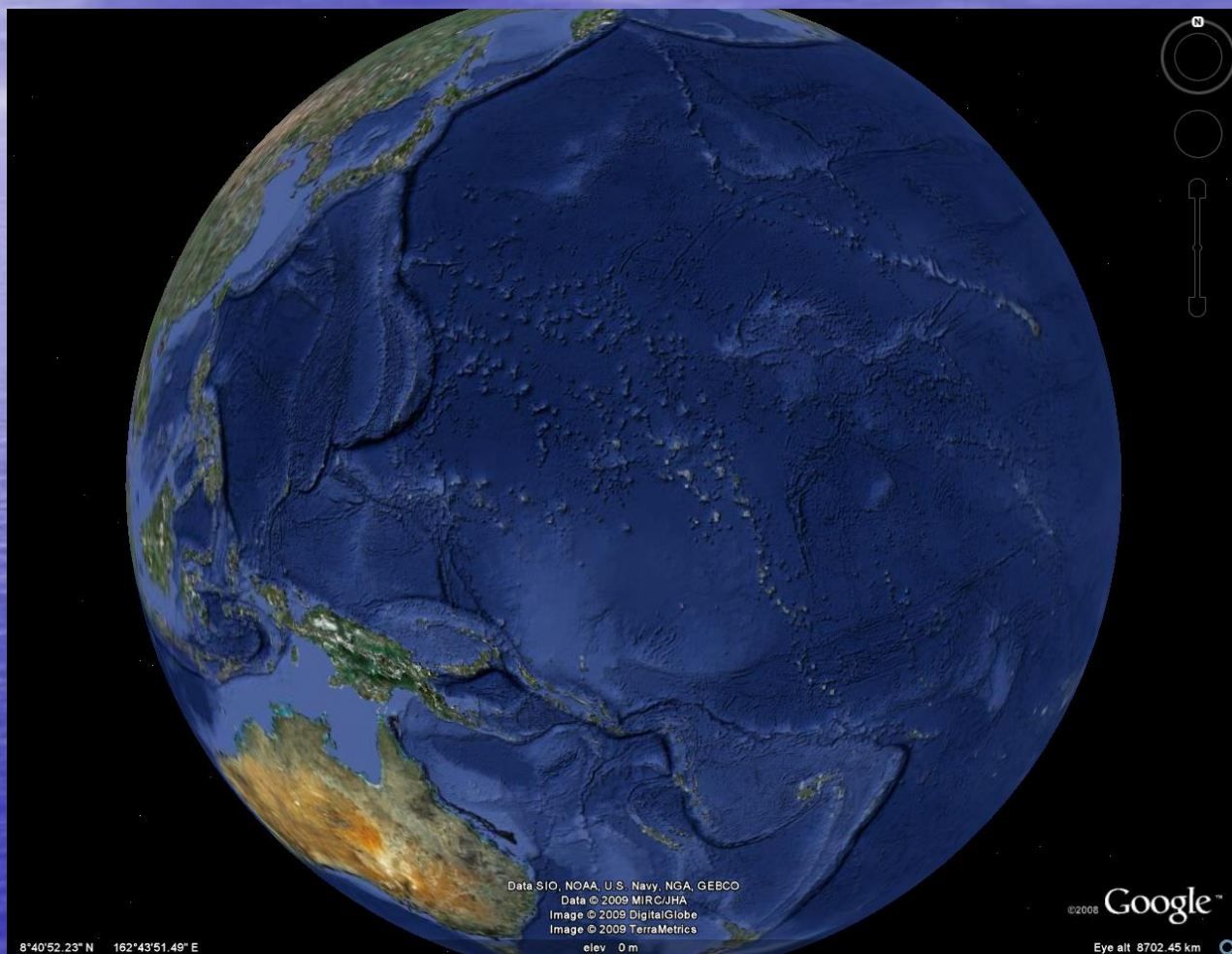
The 11 March 2011 magnitude 9.0 Honshu, Japan earthquake (38.322 N, 142.369 E, depth 32 km) generated a tsunami that was observed all over the Pacific region and caused tremendous devastation locally. This is the fourth largest earthquake in the world and the largest in Japan since instrumental recordings began in 1900. The IOC/UNESCO reports that as of March 17, 2011, there are 3,617 deaths, 7,762 missing and 2,517 injuries in Japan. This is the deadliest tsunami since the 2004 magnitude 9.1 Sumatra earthquake and tsunami caused nearly 230,000 deaths and \$10 billion in damage. This is the most devastating earthquake to occur in Japan since the 1995 Kobe earthquake caused over 5,500 deaths and the deadliest tsunami since the 1993 Hokkaido earthquake generated a tsunami which was responsible for over 200 deaths.

March 11, 2011 Tsunami Event: Observed Water Heights and Computed Tsunami Travel Times



津波

# šíření vln NOAA video



+ video dr. Furumury pro oblast Japonska

津波

**Konec první části**



# Země jako zvon





# Obecná soustava parciálních diferenciálních rovnic

## Hydrostatická rovnováha

- pohybová rovnice:  $\nabla \cdot \tau_0 + f_0 = 0$
- Poissonova rovnice:  $\Delta \varphi_0 - 4\pi G \rho_0 = 0$

$\tau_0$  - předpětí dané Cauchyovým tenzorem napětí

$f_0$  - referenční síla předepsaná:  $f_0 = -\rho_0 \nabla \varphi_0$

$\rho_0$  - referenční hustota tělesa

$\varphi_0$  - počáteční gravitační potenciál

$G$  - Newtonova gravitační konstanta

## PDR pro posunutí a přírůstkové veličiny – Lagrange-Eulerův přístup

$$\nabla \cdot \tau - \rho_0 \nabla \varphi + \nabla \cdot (\rho_0 \mathbf{u}) \nabla \varphi_0 - \nabla (\rho_0 \nabla \varphi_0 \cdot \mathbf{u}) = \rho_0 \frac{\partial^2 \mathbf{u}}{\partial t^2} \quad \text{—■ pohybová rovnice}$$

$$\nabla \cdot (\nabla \varphi + 4\pi G \rho_0 \mathbf{u}) = 0 \quad \text{—■ Poissonova rovnice}$$

$$\lambda \nabla \cdot \mathbf{u} \mathbf{I} + \mu [\nabla \mathbf{u} + (\nabla \mathbf{u})^T] = \tau \quad \text{—■ reologický vztah}$$

$\mathbf{u}$  - posunutí

$\varphi$  - přírůstkový gravitační potenciál

$\tau$  - přírůstkový tenzor napětí

$\lambda$  and  $\mu$  - Laméovy parametry tělesa



# Sférická harmonická dekompozice

- polní veličiny rozložíme do báze sférických harmonických funkcí

$$\varphi(\mathbf{r}) = \sum_{nm} F_{nm}(r) Y_{nm}(\vartheta, \phi)$$

-  $F_{nm}$  jsou koeficienty rozvoje  
-  $n$  je stupeň a  $m$  je řád

- posunutí: vektorové sférické harmonické funkce rozdělí úlohu na dvě nezávislé části

$$\mathbf{u}(\mathbf{r}) = \sum_{nm} \left[ \underbrace{U_{nm}(r) \mathbf{S}_{nm}^{(-1)} + V_{nm}(r) \mathbf{S}_{nm}^{(1)}}_{\text{sféroidální část}} + \underbrace{W_{nm}(r) \mathbf{S}_{nm}^{(0)}}_{\text{toroidální část}} \right]$$

- toroidální kmity nevyvolávají změnu objemu:  $\nabla \cdot \mathbf{u} = 0, \quad \mathbf{u} \cdot \mathbf{e}_r = 0$

- sféroidální kmity:  $(\nabla \times \mathbf{u}) \cdot \mathbf{e}_r = 0$

- slapový vektor posunutí dán pouze sféroidální částí:  $(\nabla \times \mathbf{u}) \cdot \mathbf{e}_r = 0$

- pro sféricky symetrické modely (+ symetrický slapový potenciál) úloha  $(2n + 1)$ krát degeneruje

# Země jako zvon

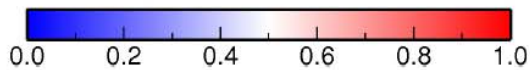
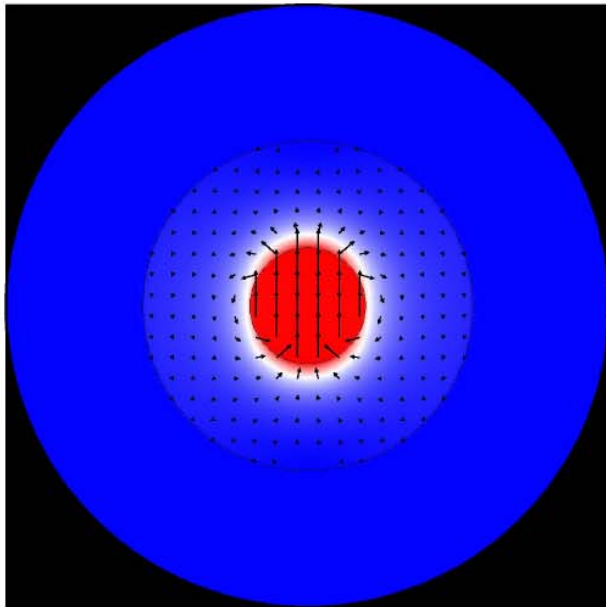


mód	perioda [s]	frekvence [mHz]	mód	perioda [s]	frekvence [mHz]	mód	perioda [s]	frekvence [mHz]
$1S_1$	19616	0.0510	$3S_1$	1060	0.9436	$3S_3$	706	1.4161
$0S_2$	3233	0.3093	$0S_6$	963	1.0376	$2S_5$	662	1.5117
$2S_1$	2475	0.4041	$3S_2$	904	1.1056	$1S_6$	657	1.5214
$0S_3$	2134	0.4686	$1S_4$	853	1.1722	$0S_9$	634	1.5761
$0S_4$	1546	0.6470	$0S_7$	813	1.2301	$1S_7$	604	1.6545
$1S_2$	1471	0.6798	$2S_3$	806	1.2410	$2S_6$	596	1.6765
$0S_0$	1230	0.8130	$1S_5$	730	1.3697	$5S_1$	584	1.7111
$0S_5$	1190	0.8401	$2S_4$	726	1.3772	$4S_2$	581	1.7209
$2S_2$	1066	0.9385	$4S_1$	709	1.4113	$0S_{10}$	580	1.7236
$1S_3$	1064	0.9395	$0S_8$	708	1.4119	$1S_8$	556	1.7980

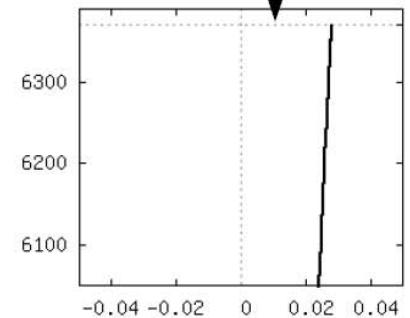
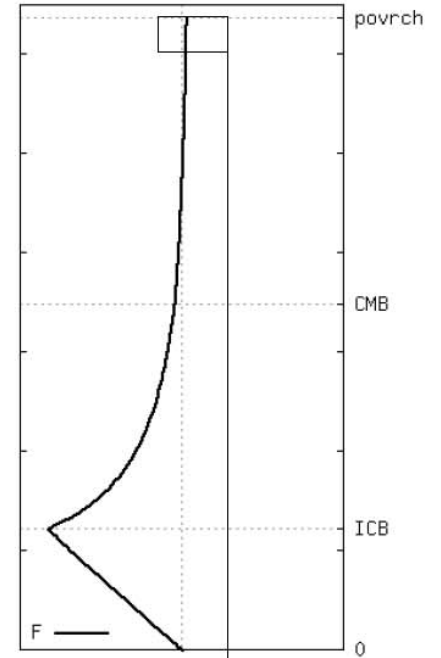
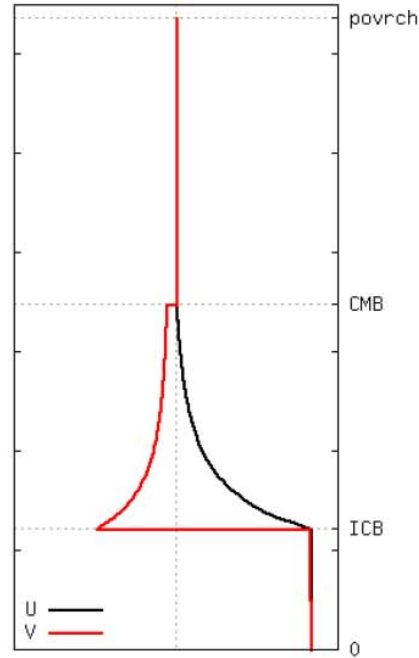
# Nejdelší sféroidální módy



$$S_{11}: T=19628s$$



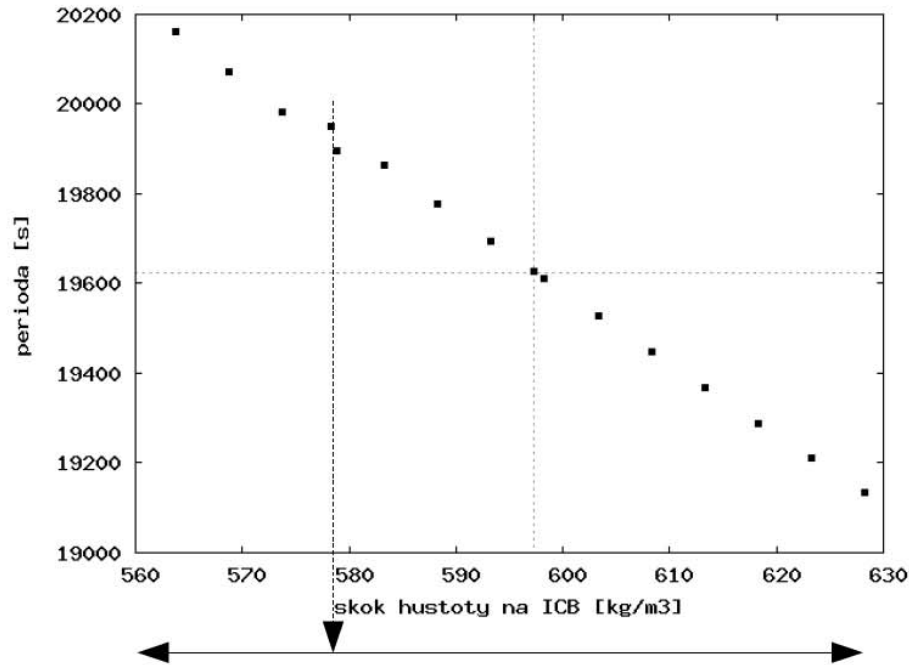
Slichterův mód: pohyb vnitřního jádra jako celku.



# Perioda ${}_1S_1$ vs. skok hustoty na ICB



Závislost periody  $1S_1$  na velikosti hustotního skoku na ICB



Pro vyšší módy je změna periody zcela zanedbatelná.

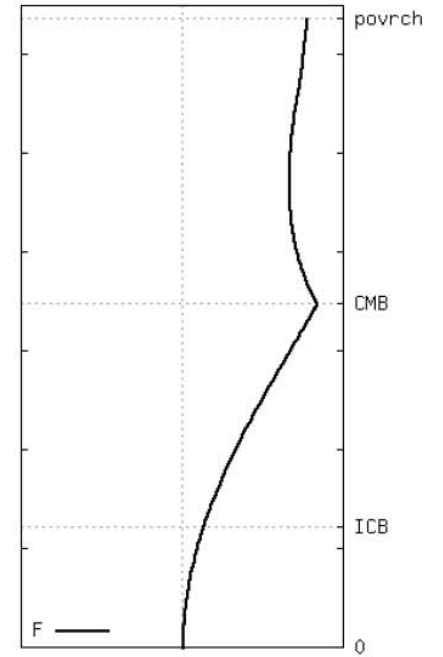
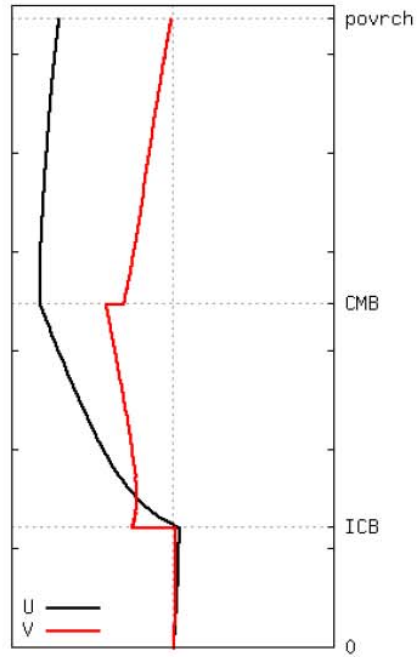
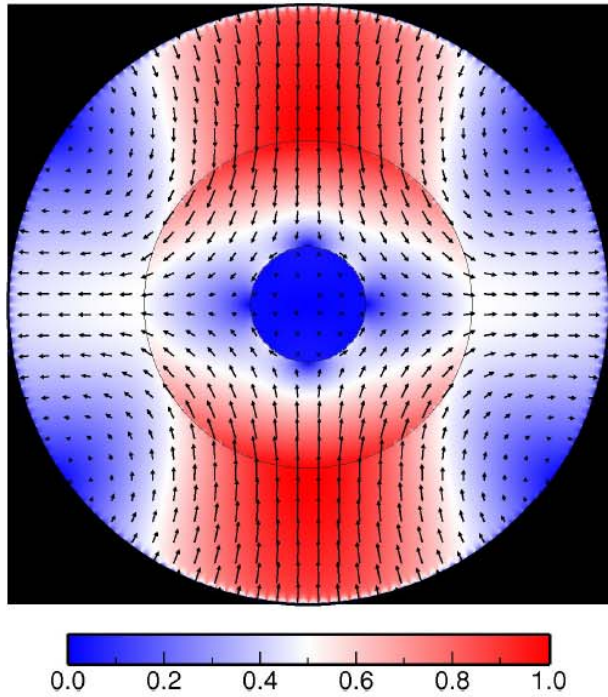
- $\Delta g < 0.1\%$

- $\Delta \rho \pm 0.05 \Delta \rho \approx T \pm 0.05 T \Rightarrow \pm 10 \text{ min}$

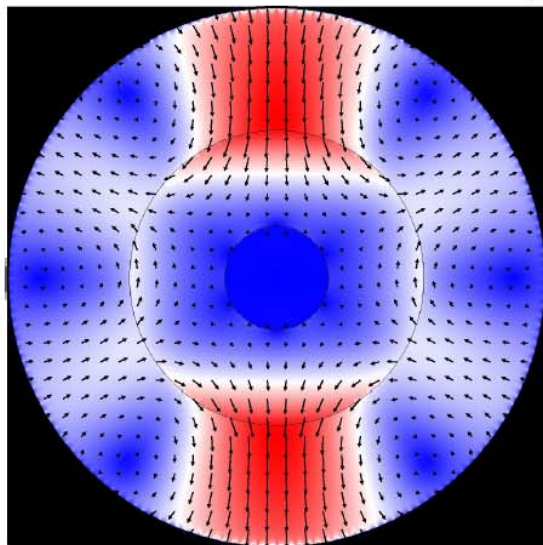
# Nejdelší sféroidální módy



$S_0$ :  $T=3218s$

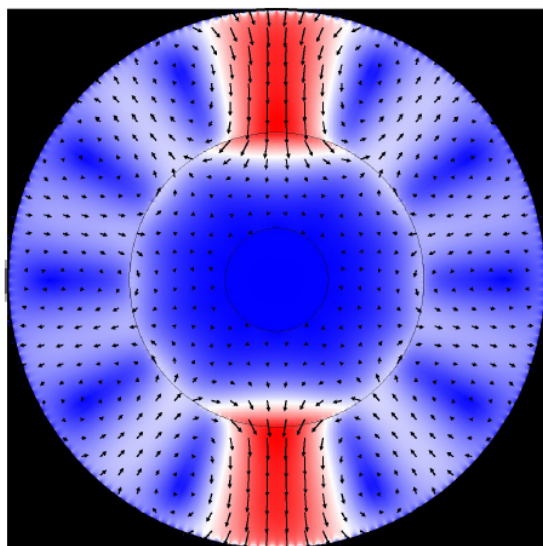
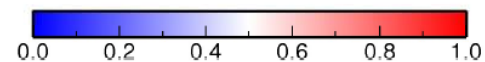
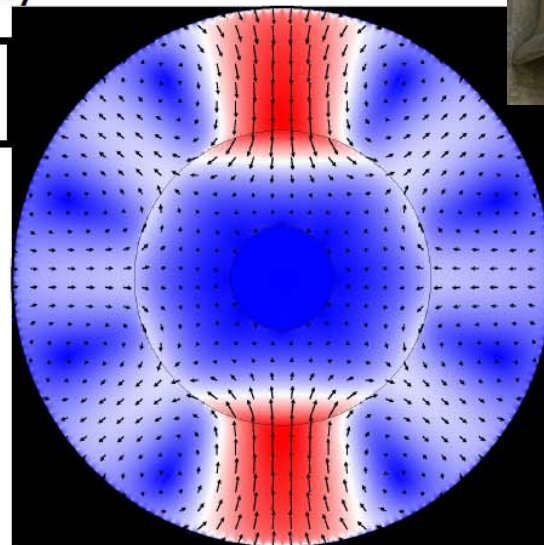


# Základní sféroidální módy



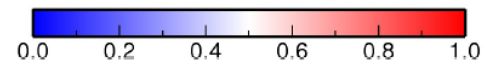
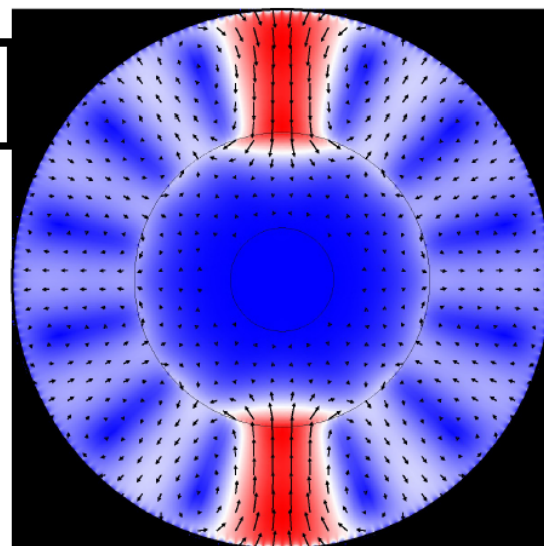
${}_0S_3: T=2122s$

${}_0S_4: T=1536s$



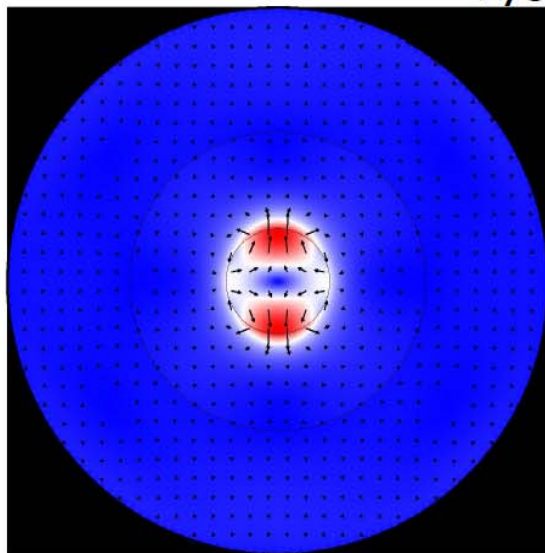
${}_0S_5: T=1183s$

${}_0S_6: T=958s$



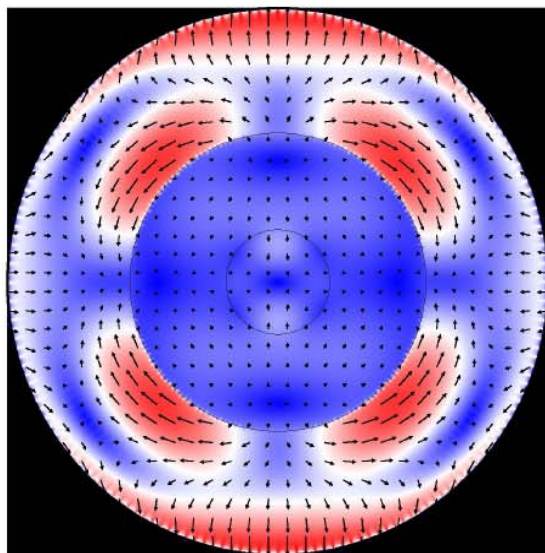
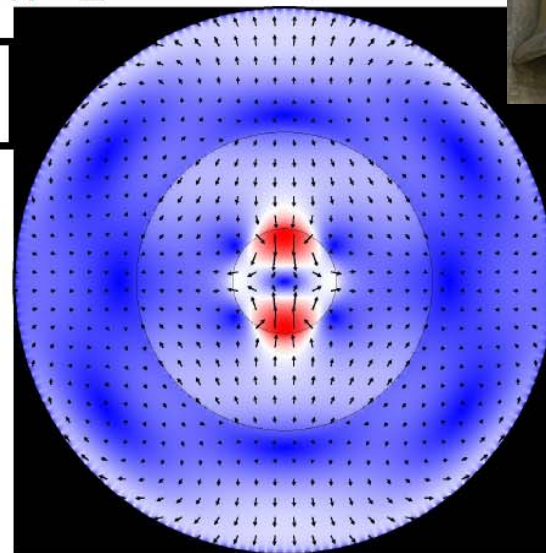


# Vyšší sféroidální módy pro $n=2$



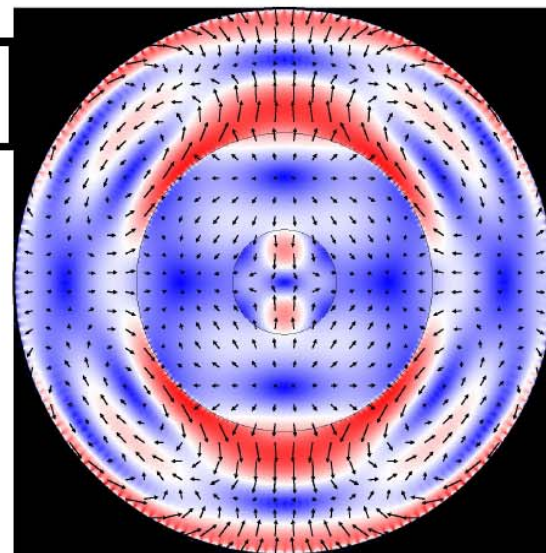
${}_2S_2: T=1041s$

${}_3S_2: T=899s$



${}_4S_2: T=578s$

${}_5S_2: T=476s$



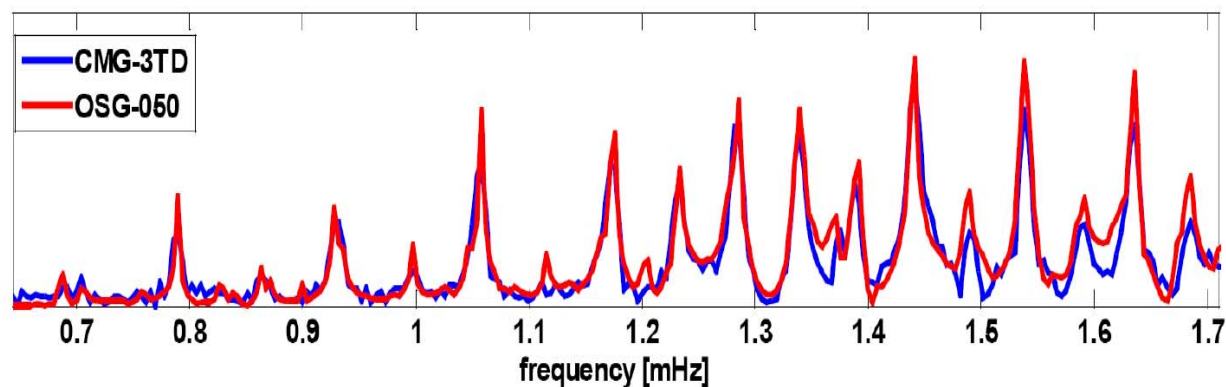
# Zpracování záznamů supravodivého gravimetru a širokopásmového seismometru z Geodetické observatoře VÚGTK Pecný



Seismometr CMG-3TD před spuštěním do vrtu



Supravodivý gravimetr OSG-050





**Děkuji Vám za pozornost**

**Vaše případné dotazy kvalifikovaně zodpoví:**

**Vlny v oceánech: Bc. David Einšpigel**

**Vlastní kmity Země: RNDr. Eliška Zábranová**